

# 高乙烯基溶聚丁苯橡胶 C2557A 的结构与性能研究

孙举涛<sup>1</sup>, 孙佳佳<sup>1</sup>, 张 萍<sup>1</sup>, 赵树高<sup>1</sup>, 徐 燕<sup>2</sup>

(1. 青岛科技大学 橡塑材料与工程教育部重点实验室, 山东 青岛 266042; 2. 中国石油独山子石化分公司 研究院, 新疆 克拉玛依 833600)

**摘要:**研究高乙烯基溶聚丁苯橡胶(SSBR)C2557A 的结构和性能,并与乳聚丁苯橡胶(ESBR)1712 和 SSBR-T2530 进行对比。结果表明:与 ESBR-1712 和 SSBR-T2530 相比,SSBR-C2557A 的数均相对分子质量最大,相对分子质量分布指数介于两者之间,而其链结构中乙烯基质量分数较高。SSBR-C2557A 硫化胶的高弹态动态模量较大,玻璃化温度在 0 ℃附近,其抗湿滑性能优于 ESBR-1712 和 SSBR-T2530,但损耗因子和压缩疲劳温升较高。

**关键词:**高乙烯基溶聚丁苯橡胶;乳聚丁苯橡胶;微观结构;抗湿滑性能

**中图分类号:**TQ333.1    **文献标志码:**A    **文章编号:**1000-890X(2013)07-0404-04

由于滚动阻力的存在,轮胎燃油消耗约占整车燃油消耗的 20%,其产生的噪声也影响环境和人体健康。目前发达国家和地区相继颁布了严格的轮胎法案和法规,因此大力开发低滚动阻力、低噪声轮胎是我国轮胎企业迫在眉睫的任务。溶聚丁苯橡胶(SSBR)是公认的绿色环保节能橡胶,其在国外使用已较为普遍,但在国内尚未大规模展开应用<sup>[1-4]</sup>。高乙烯基 SSBR 是近几年来迅速发展起来的一种新型 SSBR,与中低乙烯基 SSBR 相比,其具有更好的抗湿滑性能以及低生热、低噪声和高耐热氧老化性能等特点<sup>[5-7]</sup>。

本工作研究国产高乙烯基 SSBR-C2557A 的结构和性能,并与乳聚丁苯橡胶(ESBR)1712 和 SSBR-T2530 进行对比,旨在为 SSBR-C2557A 的推广应用提供参考。

## 1 实验

### 1.1 主要原材料

SSBR, 牌号 C2557A(以下简称 C2557A), 中国石油独山子石化分公司产品; ESBR, 牌号 1712(以下简称 1712), 中国石油化工股份有限公司齐

**基金项目:**国家自然科学基金资助项目(51103077);山东省高等学校科技计划项目(J11LD07);山东省自然科学基金资助项目(ZR2011EMQ014)

**作者简介:**孙举涛(1977—),男,山东即墨人,青岛科技大学副教授,博士,主要从事橡胶加工、橡胶材料的高性能化以及耐磨性能方面的研究。

鲁分公司产品; SSBR, 牌号 T2530(以下简称 T2530), 中国石油化工股份有限公司上海高桥分公司产品;炭黑 N330, 青岛德固赛化学有限公司产品。

### 1.2 基本配方

SBR(变牌号) 100, 炭黑 N330 50, 氧化锌 3, 硬脂酸 1, 硫黄 1.75, 促进剂 NS 1。

### 1.3 设备和仪器

SK-160B 型 160 mm×320 mm 开炼机, 上海双翼橡塑机械有限公司产品; VC-150T-FTMO-3RT 型平板硫化机, 佳鑫电子设备科技(深圳)有限公司产品; EKT-2002 GF 型压缩生热试验机, 中国台湾晔中科技有限公司产品; GT-AI-7000M 型电子拉力机和 GT-H2000-PA 型硫化仪, 中国台湾高铁科技股份有限公司产品; DSC204 F1 型差示扫描量热(DSC)仪和 DMA242 型动态力学性能分析(DMA)仪, 德国耐驰公司产品; Vertex 70 型傅里叶转换红外光谱(FTIR)仪, 德国布鲁克公司产品。

### 1.4 试样制备

SBR 混炼在开炼机上进行, 生胶包辊后依次加入氧化锌、硬脂酸、促进剂等小料, 待混合均匀后, 加入炭黑左右各割胶 3 次, 混炼均匀后将辊距调至 1 mm, 薄通 6 次下片, 下片时间约 1 min。胶料在硫化仪上进行硫化特性测试, 在平板硫化机上进行硫化, 硫化条件为 150 ℃/15 MPa× $t_{90}$ 。

## 1.5 分析测试

FTIR 分析:采用 FTIR 仪按照 ATR 全反射模式进行分析。

DSC 分析:玻璃化温度( $T_g$ )采用 DSC 仪进行测定,试验条件为:试样质量 3~10 mg,氮气气氛,温度 30~250 °C,升温速率 10 °C · min<sup>-1</sup>。

DMA 分析:采用 DMA 仪在双悬臂梁模式下进行温度扫描,试验条件为:温度范围 -80~+80 °C,升温速率 3 °C · min<sup>-1</sup>,频率 10 Hz。

门尼粘度按照 GB/T 1232.1—2000《未硫化橡胶用圆盘剪切粘度计进行测定 第 1 部分:门尼粘度的测定》进行测试;硫化特性按照 GB/T 16584—1996《橡胶用无转子硫化仪测定硫化特性》进行测试,温度为 150 °C。

邵尔 A 型硬度按照 GB/T 531.1—2008《硫化橡胶或热塑性橡胶压入硬度试验方法 第 1 部分:邵氏硬度计法(邵尔硬度)》进行测试;拉伸性能按照 GB/T 528—2009《硫化橡胶或热塑性橡胶 拉伸应力应变性能的测定》进行测试;撕裂强度按照 GB/T 529—2008《硫化橡胶或热塑性橡胶撕裂强度的测定(裤形、直角形和新月形试样)》进行测试,采用直角形试样。

压缩生热性能采用压缩生热试验机进行测试,试样为高 25 mm、直径 18 mm 的圆柱体,试验温度 55 °C,负荷 1 MPa,频率 30 Hz。

## 2 结果与讨论

### 2.1 理化分析

不同牌号 SBR 的理化分析结果如表 1 所示。

表 1 不同牌号 SBR 的理化分析结果

项 目	SBR 牌号		
	C2557A	1712	T2530
数均相对分子质量 × 10 <sup>-5</sup>	3.50	2.16	1.86
重均相对分子质量 × 10 <sup>-5</sup>	7.66	9.37	3.03
峰位相对分子质量 × 10 <sup>-5</sup>	7.16	3.06	6.37
相对分子质量分布指数	2.19	4.35	1.63

从表 1 可以看出,C2557A 的数均和重均相对分子质量较大,但相对分子质量分布指数介于 T2530 和 1712 之间。T2530 的相对分子质量及其分布指数较小,1712 的重均相对分子质量及其分布指数较大。

### 2.2 FTIR 分析

不同牌号 SBR 的 FTIR 谱如图 1 所示。

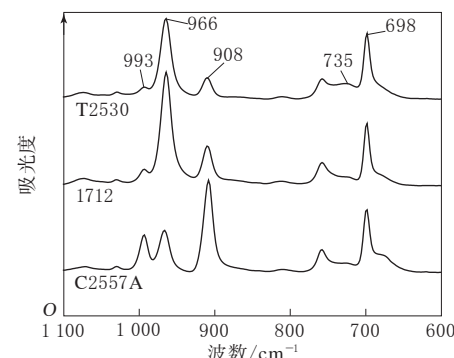


图 1 不同牌号 SBR 的 FTIR 谱

从图 1 可以看出,735 cm<sup>-1</sup> 处为聚丁二烯结构单元中顺式 1,4-结构的特征峰,966 cm<sup>-1</sup> 处为聚丁二烯结构单元中反式 1,4-结构的吸收峰,908 和 993 cm<sup>-1</sup> 处为聚丁二烯结构单元中 1,2-结构的特征峰。T2530 中顺式 1,4-结构质量分数较大,而 1712 中反式 1,4-结构质量分数较大,C2557A 中 1,2-结构质量分数远远大于其他两种橡胶。苯乙烯结构单元的特征峰在 698 cm<sup>-1</sup> 处,3 种橡胶的吸收峰高度均差不多,苯乙烯含量相差不大。根据文献[8],对 SBR 中聚丁二烯结构单元微观结构进行定量分析,结果如表 2 所示。

表 2 SBR 结构的定量分析结果

项 目	SBR 牌号		
	C2557A	1712	T2530
顺式 1,4-结构质量分数	0.232	0.129	0.373
反式 1,4-结构质量分数	0.258	0.696	0.525
1,2-结构质量分数	0.510	0.175	0.102

从表 2 可以看出,C2557A 的 1,2-结构质量分数达 0.51,远远高于其他两种橡胶。

### 2.3 DSC 分析

不同牌号 SBR 的 DSC 曲线如图 2 所示。

从图 2 可以看出,C2557A,1712 和 T2530 的  $T_g$  分别为 -30.3,-49.8 和 -57.6 °C。T2530 中顺式 1,4-结构质量分数较大,因此分子链柔顺性较好;而 C2557A 的乙烯基含量较高,分子链柔顺性最差,因此  $T_g$  最高,耐低温性能较差。

### 2.4 DMA 分析

采用 DMA 仪分析胶料的动态力学性能和动

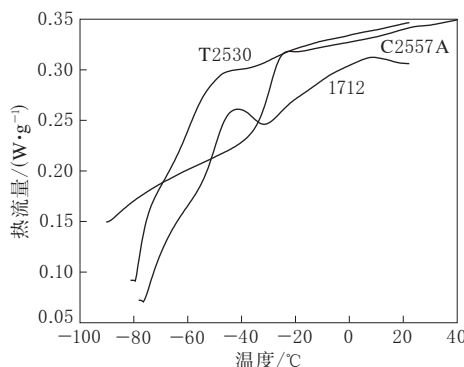
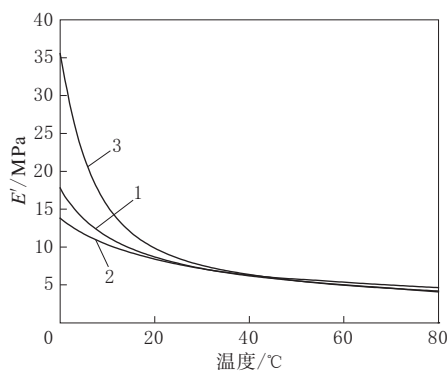


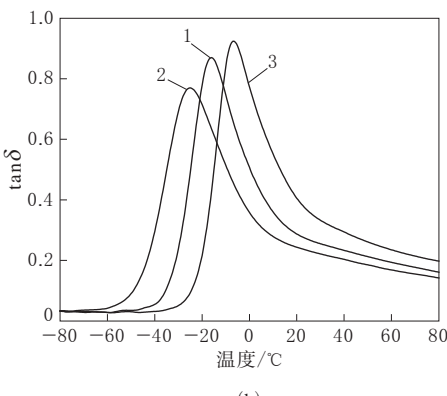
图 2 不同牌号 SBR 的 DSC 曲线

态粘弹性, 损耗因子 ( $\tan\delta$ ) 峰温可表征胶料在动态条件下的  $T_g$ ; 较低温度 (0 ℃) 下的  $\tan\delta$  可表征胶料的抗湿滑性能, 其值越大, 表明胶料的抗湿滑性能越好; 较高温度 (60 ℃) 下的  $\tan\delta$  可表征胶料的滚动阻力, 其值越小, 表明胶料的滚动阻力越小。不同牌号 SBR 的 DMA 曲线如图 3 所示。

从图 3(a)可以看出, 在 0~80 ℃ 的高弹态, C2557A 胶料的储能模量 ( $E'$ ) 较高, 这表明其动态模量较高, 定伸应力较大, 抗形变能力强。从图



(a)



(b)

1—1712; 2—T2530; 3—C2557A。

图 3 不同牌号 SBR 的 DMA 曲线

3(b)可以看出: 在 0 ℃ 附近, C2557A 胶料的  $\tan\delta$  最大, 这表明其抗湿滑性能最好; T2530 胶料在 60 ℃ 附近的  $\tan\delta$  最小, 这表明其滚动阻力最小。虽然 C2557A 胶料的抗湿滑性能较好, 但滚动阻力稍大。

## 2.5 门尼粘度和硫化特性

不同牌号 SBR 的门尼粘度和硫化特性如表 3 所示。

表 3 不同牌号 SBR 的门尼粘度和硫化特性

项 目	SBR 牌号		
	C2557A	1712	T2530
门尼粘度 [ML(1+4) 100 ℃]			
生胶	52.50	47.58	48.84
混炼胶	71.98	66.81	72.52
$t_{s1}/\text{min}$	7.1	6.8	7.7
$t_{90}/\text{min}$	33.8	24.7	18.3

从表 3 可以看出, 1712 和 T2530 生胶的门尼粘度相差不大, 但 T2530 混炼胶的门尼粘度较大, 这是因为 T2530 中顺式 1,4-结构质量分数高, 不易过混炼<sup>[1]</sup>, 且与炭黑的浸润效果较好, 故其混炼胶的门尼粘度提高较大。由于 C2557A 的相对分子质量和乙烯基含量较高, 因此其生胶和混炼胶的门尼粘度较大。与 1712 相比, T2530 的  $t_{s1}$  较长,  $t_{90}$  较短, 而 C2557A 的  $t_{s1}$  和  $t_{90}$  都较长。这是因为顺式 1,4-结构具有引发慢的特点, 一旦开始反应, 则反应速率较快; 而 1,2-结构属典型的烯丙基结构, 具有较高的活性, 引发速率较快, 反应速率则较慢。受其 2 种结构的综合作用, T2530 具有比 1712 更长的硫化操作安全期和较快的硫化速度, 而 C2557A 比 1712 的硫化操作安全期长, 但硫化速度较慢。

## 2.6 物理性能

不同牌号 SBR 硫化胶的物理性能如表 4 所示。

从表 4 可以看出, 与 1712 和 T2530 硫化胶相比, C2557A 硫化胶的拉伸强度和撕裂强度稍小。由于 C2557A 中含有大量的乙烯基, 因此其硫化胶的弹性较低。与 1712 和 T2530 硫化胶相比, C2557A 硫化胶的耐屈挠性能和耐磨性能较差。3 种橡胶的压缩疲劳温升相差不大, 但 C2557A 硫化胶的温升稍高。

表 4 不同牌号 SBR 硫化胶的物理性能

项 目	SBR 牌号		
	C2557A	1712	T2530
邵尔 A 型硬度/度	64	65	63
100% 定伸应力/MPa	2.03	1.91	1.72
300% 定伸应力/MPa	9.53	9.38	9.58
拉伸强度/MPa	17.5	19.5	19.2
拉断伸长率/%	516	537	508
撕裂强度/(kN·m <sup>-1</sup> )	38	49	45
回弹值/%	15	44	44
阿克隆磨耗量/cm <sup>3</sup>	0.287	0.209	0.210
屈挠疲劳次数×10 <sup>-4</sup>	3.5	8.0	7.0
压缩疲劳温升/℃	21.4	20.6	20.0

### 3 结论

(1) C2557A 的数均相对分子质量大于 1712 和 T2530, 但相对分子质量分布指数介于两者之间; 与 1712 相比, T2530 的相对分子质量和相对分子质量分布指数较小。

(2) 3 种 SBR 的聚丁二烯结构单元中, C2557A 中 1,2-结构质量分数最大, 1712 中反式 1,4-结构质量分数最大, T2530 中顺式 1,4-结构质量分数最大。

(3) T2530 胶料的  $T_g$  最低, 而 C2557A 胶料的  $T_g$  最高; 在 0~80 ℃的高弹态, 与 1712 和 T2530 相比, C2557A 胶料的  $E'$  和  $\tan\delta$  值均较大, 这说明其动态模量较大, 但其相应的动态损耗和动态生热也较高。

(4) 1712 和 T2530 生胶的门尼粘度相差不大, 但 T2530 混炼胶的门尼粘度较大。由于

C2557A 相对分子质量较大, 而且乙烯基含量高, 因此其生胶和混炼胶的门尼粘度较大。与 1712 相比, T2530 混炼胶的  $t_{s1}$  较长,  $t_{90}$  较短, 而 C2557A 混炼胶的  $t_{s1}$  和  $t_{90}$  均较长。

(5) 与 1712 和 T2530 相比, C2557A 硫化胶的拉伸强度和撕裂强度较小, 弹性较低, 耐屈挠性能和耐磨性能较差。3 种橡胶的压缩疲劳温升相差不大, 但 C2557A 硫化胶的温升稍高。

### 参考文献:

- [1] 张萍, 孙学红, 袁媛, 等. 国产溶聚丁苯橡胶 T2000R 的微观结构及基本性能[J]. 合成橡胶工业, 2010, 33(2): 120-125.
- [2] 杨健, 戴桂英, 赵玉中, 等. 溶聚丁苯橡胶发展状况分析[J]. 合成橡胶工业, 2007, 30(4): 245-248.
- [3] 段咏欣, 赵素合, 张兴英, 等. 溶聚丁苯橡胶的结构与性能[J]. 橡胶工业, 2002, 49(11): 645-649.
- [4] 张萍, 邓涛, 郝建港. 溶聚丁苯橡胶 SSBR2305 的结构与性能[J]. 合成橡胶工业, 2002, 25(3): 136-139.
- [5] 张萍, 赵树高, 邓涛, 等. 溶聚丁苯橡胶 SSBR2305 在轮胎胎面胶中的应用[J]. 合成橡胶工业, 2002, 25(5): 277-281.
- [6] Li H, Sun J, Song Y H, et al. The Mechanical and Viscoelastic Properties of SSBR Vulcanizates Filled with Organically Modified Montmorillonite and Silica[J]. Journal of Materials Science, 2009, 44(7): 1881-1888.
- [7] 游长江, 贾德民, 赵旭升, 等. 高性能轮胎用橡胶复合材料应用理论研究进展[J]. 轮胎工业, 2000, 20(7): 387-395.
- [8] Shimba A, Morimoto M. Characterization of Microstructure in Styrene-Butadiene Rubber by FTIR Spectroscopy Using Single Reflection ATR[J]. Analytical Science, 2001, 17(Supplement): 1503-1505.

收稿日期: 2013-01-05

## Structure and Properties of High-vinyl Solution-polymerized SBR-C2557A

SUN Ju-tao<sup>1</sup>, SUN Jia-jia<sup>1</sup>, ZHANG Ping<sup>1</sup>, ZHAO Shu-gao<sup>1</sup>, XU Yan<sup>2</sup>

(1. Qingdao University of Science and Technology, Qingdao 266042, China; 2. Research Institute of Dushanzi Petrochemical Co., PetroChina, Karamay 833600, China)

**Abstract:** The structure and properties of high-vinyl solution-polymerized SBR (SSBR) C2557A were investigated, and compared with those of emulsion-polymerized SBR (ESBR) 1712 and SSBR-T2530. The results showed that, compared with ESBR-1712 and SSBR-T2530, SSBR-C2557A possessed higher vinyl content and larger number-average relative molecular weight, and its relative molecular weight distribution index ranged between those of ESBR-1712 and SSBR-T2530. The vulcanizates of SSBR-C2557A possessed higher dynamic modulus at large elastic state and the glass transition temperature close to 0 ℃. The wet skid resistance of SSBR-C2557A vulcanizates was better than that of ESBR-1712 and SSBR-T2530, but the loss factor and compression fatigue temperature rise were higher.

**Key words:** high-vinyl SSBR; ESBR; microstructure; wet skid resistance